

# Automates à $n - piles$

David Gontier

19 décembre 2008

## 1 Introduction

Il est classique de montrer que les automates reconnaissent les langages rationnels, et que les automates à piles reconnaissent les grammaires non contextuelles. De plus, si on munit un automate d'une  $2^{me}$  pile, il devient équivalent à une machine de Turing. On se demande alors naturellement ce que pourrait reconnaître un automate à pile, dont les éléments de la pile seraient des piles elle-mêmes. C'est ce qu'on appelle un automate à  $n - pile$ .

Nous commencerons par définir les automates à  $n - pile$  dans le cas général, puis nous nous intéresserons plus spécialement aux automates à  $2 - piles$ . Nous introduirons les langages polynomiaux, et démontrerons qu'ils sont reconnus par de tels automates. Enfin, nous présenterons le langage de Uryzyczyn, qui en particulier amène à la question encore non résolue de savoir si on peut déterminer un automate à  $n - pile$  pour  $n \geq 2$ , les cas  $n = 0$  et  $n = 1$  étant vrais.

## 2 Automates à piles de piles

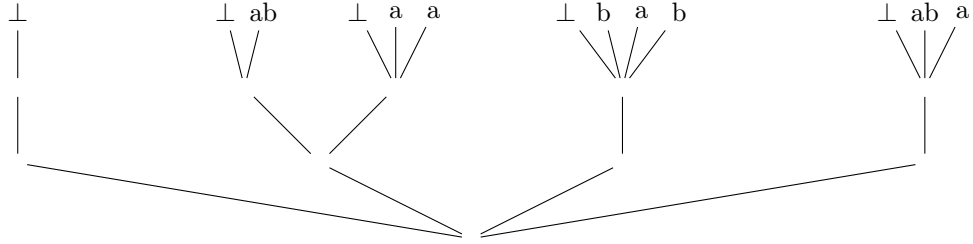
La définition formelle d'un automate à piles de piles étant non seulement complexe à formaliser entièrement, et ne présentant que peu d'intérêt pour cette simple introduction, on passera rapidement sur les définitions, mais on illustrera toute la suite par de nombreux exemples.

**Definition 1.** On définit récursivement une  $n - pile$  de la manière suivante :

- Une  $1 - pile$  est une suite finie  $[a_1, \dots, a_n]$  de mots de  $A^*$
- Une  $(n + 1) - pile$  est une suite finie  $[p_1, \dots, p_l]$  de  $n - piles$

On note  $\perp_k$  la  $k - pile$  vide

*Exemple 2.*  $[[[\perp]], [[\perp, ab], [\perp, a, a]], [[\perp, b, a, b]], [[\perp, ab, a]]]$  est une  $3 - pile$ , que l'on peut aussi représenter sous forme d'un arbre :



On s'autorise les opérations suivantes sur les  $n - piles$ , pour  $1 < k < n$  :

$$\left\{ \begin{array}{ll} \text{top } [a_0, \dots, a_n] & = a_0 & \text{si } n = 1 \\ \text{top } [p_0, \dots, p_l] & = \text{top } p_0 \\ \text{push}_1(a) [a_0, \dots, a_n] & = [a, a_0, \dots, a_n] & \text{si } n = 1 \\ \text{push}_n [p_0, p_1, \dots, p_l] & = [p_0, p_0, p_1, \dots, p_l] \\ \text{push}_k [p_0, p_1, \dots, p_l] & = [\text{push}_k p_0, p_1, \dots, p_l] \\ \text{pop}_n [p_0, p_1, \dots, p_l] & = [p_1, \dots, p_l] \\ \text{pop}_k [p_0, p_1, \dots, p_l] & = [\text{pop}_k p_0, p_1, \dots, p_l] \end{array} \right.$$

En particulier, on remarque qu'on ne travaille qu'avec le haut de la pile.

**Definition 3.** Un automate à  $n - pile$  ( $n - PDA$ ) est un automate "muni" d'une  $n - pile$   $P$ , et dont les transitions sont de la forme  $\delta_\alpha(q, a) = (p, action)$  où  $\text{top } P = a$ ,  $\alpha$  est le symbole lu par l'automate, et où  $action$  est une ou plusieurs des opérations définies précédemment sur  $P$ . On travaillera avec le mode d'acceptation par pile vide.

*Exemple 4.* L'automate déterministe à  $2 - pile$  suivant reconnaît le langage  $L = \{a^n b^n c^n, n \geq 0\}$  :

$$\left\{ \begin{array}{ll} \delta_a(q_0, \perp_2) & = (q_0, \text{push}_1(Z)) \\ \delta_a(q_0, Z) & = (q_0, \text{push}_1(Z)) \\ \delta_b(q_0, Z) & = (q_1, \text{push}_2 + \text{pop}_1) \\ \delta_b(q_1, Z) & = (q_1, \text{pop}_1) \\ \delta_c(q_1, \perp_1) & = (q_2, \text{pop}_2 + \text{pop}_1) \\ \delta_c(q_2, Z) & = (q_2, \text{pop}_1) \end{array} \right.$$

Dans l'état  $q_0$ , on empile  $n$  fois  $Z$  dans la  $1 - pile$ . Puis on copie cette pile une  $2^{me}$  fois grâce à  $\text{push}_2$ . Il suffit de vérifier avec ces 2 piles qu'il y a le bon nombre de  $b$  et  $c$ .

On s'intéresse maintenant plus spécialement aux automates à  $2 - piles$ .

### 3 Langages polynomiaux

Dans cette partie, on introduit les langages polynomiaux, et on démontre qu'ils sont reconnaissables par des automates à  $2 - piles$ . En plus, des actions

définies précédemment, on introduit des nouvelles notations pour faciliter la compréhension :

$$\begin{cases} \text{pop } [p_0, p_1, \dots, p_n] & = \begin{cases} \text{pop}_1 & \text{si } p_0 \neq \perp \\ \text{pop}_2 & \text{sinon} \end{cases} \\ \text{popifnot}(\omega) P & = \begin{cases} \text{pop} & \text{si } \text{top}(P) \neq \omega \\ \text{rien} & \text{sinon} \end{cases} \\ \text{popto}(\omega) P & = (\text{popifnot}(\omega))^\infty P \end{cases}$$

popto vide en fait la pile jusqu'à la pile vide, ou jusqu'à ce que  $\text{top}(P)$  soit égal à  $\omega$ .

On notera enfin  $\bar{n}$  pour la 1-pile  $\underbrace{Z, \dots, Z}_n, \perp, Z$  étant un symbole quelconque.

On appellera "pile 1" la 1-pile accessible, et "pile 2" la 2-pile de l'automate considéré.

**Definition 5.** Soit  $\mathcal{A}$  un alphabet, un langage  $L$  est dit polynomial sur  $\mathcal{A}$  si il existe  $(\omega_{i,j})_{1 \leq i \leq m, 1 \leq j \leq n} \in \mathcal{A}$ , tel que :

$$L = \left\{ \omega_{1,1}^{k_1} \omega_{1,2}^{k_1^2} \dots \omega_{1,n}^{k_1^n} \omega_{2,1}^{k_2} \dots \omega_{m,n}^{k_m^n} \mid k_1, \dots, k_m \in \mathbb{N}, \omega_{i,1} \neq \epsilon \right\}$$

*Exemple 6.* Le langage  $\{a^n b^{n^2}, n \in \mathbb{N}\}$  est polynomial, le langage  $\{a^n b^m c^{nm}, n, m \in \mathbb{N}\}$  ne l'est pas.

**Theoreme 7.** Les langages polynomiaux sont reconnus par les 2-PDA.

On peut tout de suite remarquer que la réciproque est fausse : le langage  $\{a^n b^m c^{nm}, n, m \in \mathbb{N}\}$  étant reconnu par l'automate suivant :

- push<sub>1</sub> a la lecture de a
- push<sub>2</sub> a la lecture de b
- pop a la lecture de c

*Démonstration.* On remarque qu'on peut se restreindre au cas

$$L = \left\{ \omega_1^k \omega_2^{k^2} \dots \omega_n^{k^n}, k_1, \dots, k_m \in \mathbb{N}, \omega_1, \dots, \omega_n \in \mathcal{A}, \omega_1 \neq \epsilon \right\}$$

quitte à mettre plusieurs automates à la suite, ou à ajouter des états.

On suppose de plus que, si  $i$  est le premier indice plus grand que 2, alors  $\omega_1 \neq \omega_i$ . Cela permet d'identifier facilement  $k$  lors de la lecture.

La démonstration se fait par récurrence : on va montrer qu'on peut construire un automate qui, à partir de  $[\bar{k}]$  peut reconnaître  $a^{k^d}$  par liste vide :

Le cas  $n=1$  est trivial, en posant simplement  $\delta_a(q_0, Z) = (q_0, \text{pop})$

Le cas  $n=2$  peut se traiter ainsi : On remarque que  $n^2 = \sum_{i=1}^n 2i - 1$ . On commence par poper, puis ajouter 0,1 et 1 en sommet de pile (C'est le "code" de  $2(n-1)^1 + 1(n-1)^0 = n^2 - (n-1)^2$ ). Puis, si on lit 1, on copie la liste (push<sub>2</sub>), on dépile les 1 et 0 restant (popto(Z)), et on reconnaît  $n-1$  avec la méthode précédente, puis on recommence (on peut marquer la première pile en

lui ajoutant un symbole distinctif X pour simuler la pile vide : la pile vide de l'hypothèse de récurrence correspond alors à  $\text{top}(P) = X$ . Si on lit 0, on dépile le 0 (pop) en lisant un a. Sinon, et si la pile n'est pas encore vide, on  $\text{pop}_1$  et on recommence tout.

Si on note  $S_n$  le nombre de lettres reconnues par cette méthode, on a la relation de récurrence  $S_n = S_{n-1} + 2(n-1) + 1$ , et  $S_0 = 0$  ce qui donne bien  $S_n = n^2$ .

Les cas suivants se traitent avec la même méthode : on calcule  $X^d - (X-1)^d$  qui est un polynôme en X de degré (d-1) :  $a_0 + \dots + a_{d-1}X^{d-1}$ . On pop une fois, on met le code obtenu : on empile  $a_0$  fois 0, ...,  $a_{d-1}$  fois (d-1), et suivant ce qu'on lit au dessus, et avec les hypothèses de récurrence, on reconnaît  $k^d$  avec la même méthode que pour le cas  $n = 2$ .  $\square$

*Exemple 8.* Pour  $\{a^n b^{n^2}, n \in \mathbb{N}\}$ , la pile aura successivement les états suivants :

$$\begin{array}{rcl}
 a^n b^{n^2} & & [[\perp]] \\
 a^{n-1} b^{n^2} & & [[Z \perp]] \\
 b^{n^2} & & [[\bar{n} \perp]] \\
 b^{n^2} & & [[110(n-1) \perp]] \\
 b^{n^2} & [[X10(n-1) \perp] [X10(n-1) \perp]] & \\
 b^{n^2} & [[(n-1) \perp] [X10(n-1) \perp]] & \\
 b^{n^2-n+1} & [[\perp] [X10(n-1) \perp]] & \\
 b^{n^2-n+1} & [[X0(n-1) \perp] [X0(n-1) \perp]] & \\
 b^{n^2-n+1} & [[(n-1) \perp] [X0(n-1) \perp]] & \\
 b^{n^2-2n+2} & [[\perp] [X0(n-1) \perp]] & \\
 b^{(n-1)^2} & [[(n-2) \perp]] & \\
 \vdots & & \vdots
 \end{array}$$

## 4 Langage de Urzyczyn

Soit le problème suivant : Un enfant reçoit dans l'ordre des objets numérotés de 1 à  $n$ , qu'il met dans une pile. Cet enfant retire de temps en temps pendant le processus le premier objet du sommet de la pile, et le jette à la poubelle. Le problème est de savoir quel est le numéro du jouet du dessus de la pile à la fin de l'opération. On se demande si on peut résoudre ce problème avec un automate à  $n - \text{pile}$ .

Formalisons un peu ce problème :

**Definition 9.** Le langage U de Urzyczyn est défini sur l'alphabet  $\mathcal{A} = \{(\cdot), *\}$  et consiste en l'ensemble des mots qui s'écrivent sous la forme  $w^n$ , tel que  $w$  soit le préfixe d'une expression bien parenthésée, et qu'aucun préfixe de  $w$  soit bien paranthésé. De plus, on donne une étiquette à chaque parenthèse de la manière suivante :

- L'étiquette du  $n^{\text{eme}}$  ( est n

- L'étiquette de ) est celle de l'étiquette de la parenthèse précédant celle du ( qu'elle ferme.
- $n$  est alors le numéro de la dernière étiquette

Exemple 10.

$$\begin{array}{cccccccccccccccc} ((((( )))(( ( ( ))) * * * * * \\ 1\ 2\ 3\ 4\ 3\ 2\ 5\ 6\ 5\ 7\ 8\ 7\ 5 \end{array}$$

En terme du problème, la parenthèse ( représente l'insertion de l'objet  $n$  dans la pile, et la parenthèse ) représente l'action de retirer un objet,  $n$  étant toujours le numéro de l'objet en sommet de pile après l'action. Le nombre final de \* est juste une manière de coder le numéro de l'objet en sommet de pile à la fin de l'opération.

**Proposition 11.** *Tout mot de  $U$  s'écrit de manière unique sous la forme :*

$$\underbrace{((\dots((\dots)\dots(\dots)))}_{(1)} \underbrace{\dots}_{(2)} \underbrace{*\dots*}_{(3)}$$

où :

- (1) est le préfixe d'un mot bien parenthésé, finissant par (, dont aucun sous préfixe n'est bien paranthésé.
- (2) est une expression bien paranthésée.
- (3) a le même nombre  $n$  de \* que le nombre de ( dans (1).

Exemple 12. Le mot (((()))((())) \* \* \* \* admet la décomposition suivante :

$$\underbrace{((( ( ( ))) ( ( ( ( ))) * * * * *}_{(1)} \underbrace{\dots}_{(2)} \underbrace{\dots}_{(3)}$$

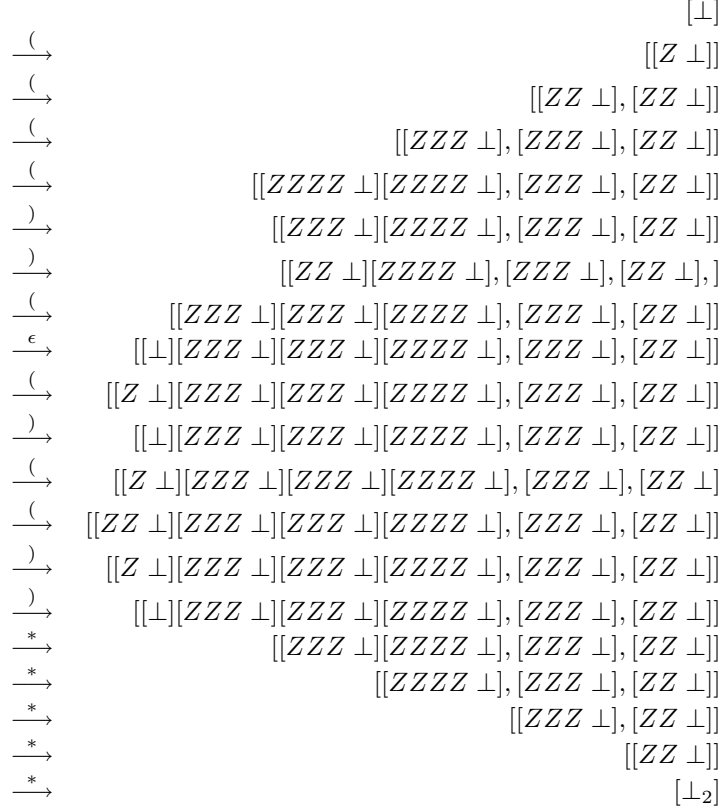
*Démonstration.* La proposition est triviale quand on réfléchit en terme du problème :  $n$  correspond simplement au numéro de l'objet au sommet de la pile de l'enfant à la fin de l'opération.  $\square$

Réciproquement, on vérifie aisément que l'ensemble des mots ayant une telle décomposition sont dans  $U$ .

**Theoreme 13.** *Le langage  $U$  est reconnaissable par un automate à 2-pile non déterministe.*

*Démonstration.* L'idée est de deviner la partie (1) du mot que l'on reconnaît : On va vérifier d'une part que le mot qu'on lit est bien paranthésé, grâce à la pile 1, et la trace du nombre de ( qu'on lit dans la pile 2 : dans la partie (1) du mot, la lecture de ( provoque un  $push_1$  suivi d'un  $push_2$ (sauf le premier), la lecture d'un ) provoque juste  $pop_1$ . Dans la partie (2), on vérifie juste que le mot est bien paranthésé : on crée une nouvelle pile de travail :  $push_2$  puis  $pop_2$ (\$perp). La lecture de ( fait  $push_1$ , et la lecture de ) fait  $pop_1$ . Enfin, la lecture de \* fait deux  $pop_2$  au début, puis un  $pop_2$  pour chaque \* lu supplémentaire. La pile à la fin doit être vide.  $\square$

Exemple 14. Dans l'exemple précédent, on obtient les piles suivantes :



Actuellement, on ne sait toujours pas si le langage U est reconnaissable par un automate à  $n$  - pile déterministe.

## 5 Conclusion

Nous avons vu des exemples de langage reconnus par des 2-PDA sans toutefois avoir réussi à caractériser complètement la classe des langages qu'ils reconnaissent ( $LANG_2$ ). On peut trouver une caractérisation de ce langage dans [3] et [4]. On peut de même se poser la question pour des piles d'ordre supérieur ( $LANG_n$ ). En pratique, on obtient des langages intéressants (grammaire récursive permettant la vérification de langages fonctionnels) en ajoutant une propriété "d'effondrement" à ces automates. On pourra se reporter à [3] ou [5] pour plus de détails.

## Références

- [1] JOLIE G. DE MIRANDA : *Structures generated by higher-order grammars and the safety constraint*, Thèse Trinity Term, 2006

- [2] W. KARIANTO : *On Parikh images of higher-order pushdown automaton (extended abstract)*
- [3] S. FRATANI : *Automates à piles de piles ...de piles*, Thèse Université Bordeaux 1, 2005
- [4] N. MARIN : *Suites de mots et automates*, Université Bordeaux 1, 2007
- [5] T. KNAPIK, D. NIWINSKI, P. URZYCZYN : *Higher-order pushdown trees are easy*, Université de la Réunion, 2002